

## ميزات زرع الأيونات الثقيلة باتجاه القنوات

د . مفید عباس

### □ الملخص □

تعلق درجة التشوّه الناتجة عن عمليات الزرع الأيوني لعينة هدف كريستالية بتوجيه هذه العينة بالنسبة للبنية الأيونية. ويصل التشوّه حده الأعظمي عند الزرع الأيوني في الإتجاه العشوائي وحده الأصغر عند الزرع باتجاه القنوات المحورية الجديدة، هذا ويلعب توجيه العينة بالنسبة للحرزنة الأيونية الدور الرئيسي في تحديد الأعمق الذي تصلها الأيونات المزروعة.

تمت دراسة تأثير الكبح الالكترونی للأيونات على مقاطع التوزع العميق للكثافة الأيونية من خلال مقارنة مقطعي التوزع العميق للكثافة الأيونية لأيون الكالسيوم ( $\text{Ca}^{+}$ ) ذو الكبح الالكترونی العالي وأيون المغنتيوم ( $\text{Mg}^{+}$ ) ذو الكبح الالكترونی المنخفض والمذروعين باتجاه القناة المحورية  $<110>$  لعينة السيلikon (Si).

## مقدمة:

الأشعة الأيونية وقطرها وتفرقهما)، لذا أجري البحث المقدم هذا على الأيونات الثقيلة وفورنت النتائج التجريبية للتشوهات الناجمة عن عمليات الزرع الأيوني وللتوزعات العميقه للكثافة الأيونية مع نموذج حسابي بسيط كما درس تأثير الكبح الإلكتروني على حركة وتوزع الأيونات.

### انتاج التشوہات في عمليات الزرع الأيوني باتجاه القنوات:

تنقسم حزمة الأيونات المقدوفة باتجاه إحدى القنوات المحورية لعينة هدف عالية التبلور (كريستالية) نتيجة التأثيرات المتبادلة لأيونات الحزمة مع ذرات سطح العينة إلى قسمين، يتالف القسم الأول من الأيونات التي تصيب القناة في نقطة تبعد عن أي من صفوف الذرات المكونة لهذه القناة مسافة أكبر من نصف قطر الخرج ( $\frac{r}{2}$ ) لهذه الصورف ويعرف نصف قطر الخرج بأنه مسافة التصادم التي تُعاني من أجلها الأيونات انحرافاً في مسارها بزاوية تسمى الزاوية الموجزة ( $\Psi$ ) وهي أصغر زاوية ترك الأيونات من أجلها القنوات التي تسير ضمنها لتحرك بحركة عشوائية، تتعلق ( $\Psi$ ) وبالتالي ( $\Psi$ ) بطاقة التسريع الأيوني، تتابع أيونات القسم الأول هذا طريقها ضمن القنوات بحركة موجية تختلف سعتها بحسب بعد الأيون

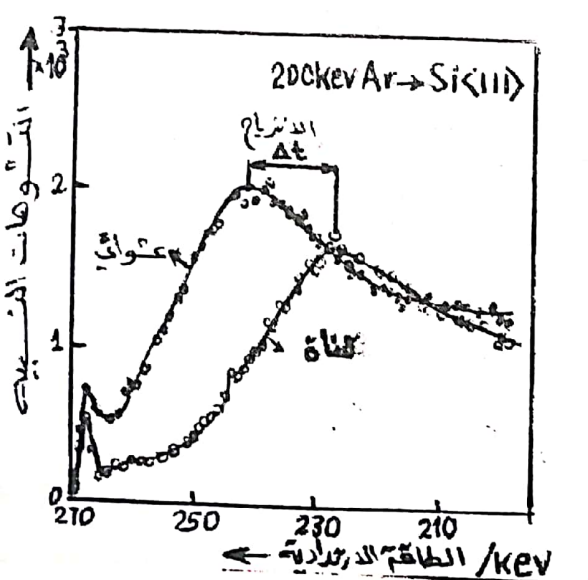
بدأ البحث في عمليات الزرع الأيوني باتجاه قنوات عينة الهدف (الجسم الصلب المزروع بالأيونات) منذ السبعينيات من هذا القرن، لقد درست حركة الأيونات ضمن القنوات والتأثيرات المتبادلة بين هذه الأيونات وذرات عينة الهدف [1]. وكانت أول الأعمال المقدمة في هذا المجال أبحاث تجريبية على التوزع العميق للكثافة الأيونية للأيونات المزروعة باتجاه القنوات واعتمد في ذلك على تحديد بقايا النشاط الشعاعي للأيونات المتحركة ضمن القنوات [2]، تعتمد الأبحاث الحديثة في هذا المجال على قياسات (SIMS) [3-4] (التحديد الكتلي الطيفي لكتافة الأيونات المزروعة بتابعية عمق توضعها) كما تعتمد أيضاً على قياسات (DLTS) [5] الكهربائية (تغيرات المقاومة نتيجة الزرع الأيوني).

أُجريت الأبحاث السابقة بمعظمها على أيونات خفيفة ونادراً ما استخدمت الأيونات الثقيلة نظراً للاقفال للطرق الدقيقة في دراستها ودراسة التشوہات الناجمة عنها يضاف إلى ذلك صعوبة توليدها وتسويتها والتحكم بمحولات الزرع الأيوني الابتدائية (كتلة الأيون وسرعته واتجاهه، طبيعة ذرات عينة الهدف وتوجه هذه العينة بالنسبة للحزمة الأيونية، درجة الحرارة ودرجة الخلاء، شدة

(نزع منها ذرتها). يتطلب إزاحة ذرة من مكانها تقديم طاقة لها أكبر من طاقة ارتباطها بشبكتها وهذا ممكّن فقط في حالة الأيونات المتحرّكة بحركة عشوائية وذلك لأنّ شدة التصادم وبالتالي مقدار الطاقة المقدمة من الأيون إلى الذرة يتتناسب عكساً مع مسافة التصادم التي تكون كبيرة في حالة الأيونات المتحرّكة ضمن القنوات (أكبر من  $2\pi$ ) وبما أنّ القسم الأكبر من الأيونات يتحرّك في حالة الزرع الأيوني باتجاه القنوات ضمن القنوات والقسم الأكبر منها يتحرّك في حالة الزرع الأيوني بالاتجاه العشوائي بحركة عشوائية اعتباراً من السطح تكون التشوهات في الحالة الأولى أقل بكثير منها في الحالة الثانية وهذا ما توضّحه المقارنة في الشكل (1).

وقربه من محور القناة التي يسير ضمنها. تتالف أيونات القسم الثاني من تلك التي تصيب القنوات في نقطة تقع ضمن المقطع ( $\pi^2$ ) الخرج لصفوف الذرات المكونة لهذه القنوات وبالتالي تعاني أيونات هذا القسم إنحرافاً في مسارها بزاوية أكبر أو تساوي الزاوية الحرجة ( $\Psi$ ) وبالتالي تترك قنواتها وتحرك بشكل عشوائي اعتباراً من الطبقات السطحية [6].

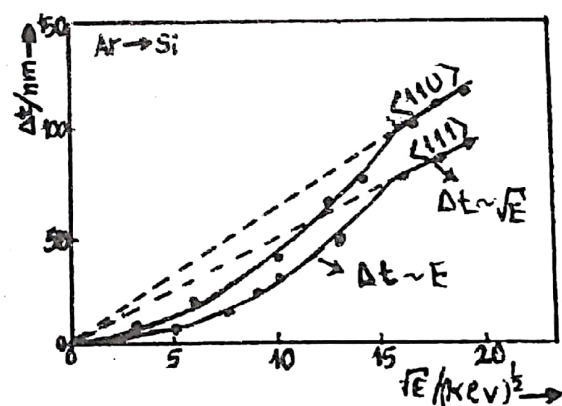
تتألف التشوهات في عينة المدف المزروعة بالأيونات من الذرات المزاحة من أماكنها النظامية في شبكتها البلورية ومستقرة في أماكن غير نظامية ضمن الشبكة ومن المناطق الحالية التي تتركها الذرات المزاحة إضاف إلى ذلك الأيونات التي تتوضع ضمن الشبكة وحرّكة الذرات المجاورة لمنطقة حالية



الشكل (1): مقارنة التوزيعات العميقية للتشوهات في حالة الزرع الأيوني باتجاه القنوات والاتجاه المعاكس.

منها في الحالة الثانية. ويفسر هذا الانزياح في قمة التشوہات بأنّ الحركة العشوائية المسؤولة عن انتاج التشوہات تبدأ في الطبقات الأعمق في الحالة الأولى (حالة الزرع الأيوني ياتجاه الغنوت) وبتمثيل الانزياح ( $\Delta t$ ) بيانياً بتابعية جزر طاقة التسريع الأيوني  $\sqrt{E}$  نستنتج كما هو واضح في الشكل (2) بأنّ الانزياح ( $\Delta t$ ) يرتبط بعلاقة خطية مع جزر طاقة التسريع الأيوني  $\sqrt{E}$  في مجال طاقات التسريع الأيونية العالية نسبياً وبعلاقة خطية مع طاقة التسريع الأيوني ( $E$ ) في مجال طاقات التسريع الأيونية المخفضة.

الذي يمثل مقارنة بين مقطع التوزع العمقي للتشوہات في حالة الزرع الأيوني باتجاه القناة المحورية  $<111>$  مع مقطع التوزع العمقي للتشوہات في حالة الزرع الأيوني في الاتجاه العشوائي لعينة السيليكون (Si) وأيون الأرغون ( $Ar^+$ ) ذو طاقة التسريع (200 KEV). وكما هو واضح من الشكل (1) تزاح قمة التشوہات في الحالة الأولى بقدار ( $\Delta t$ ) عن قمة التشوہات في الحالة الثانية كما أنّ عمق الاختراق الأعظمي للأيونات في الحالة الأولى أكبر بكثير منه في الحالة الثانية إلا أنّ سوية التشوہات في الحالة الأولى أخفض



الشكل (2): علاقة انزياح قمة التشوہات بطاقة التسريع الأيوني

المستمر لكمون الصفوف الذرية حيث يُعتبر الكمون موزعاً بشكل متجانس على كامل الصف الذري من أجل الأيونات التي تتحاول المسافة بين ذرتين بزمن أقصر من الزمن اللازم للتصادم مع إحدى الذرات وذلك على اعتبار

ويفسر هذا الاختلاف في شكل علاقة انزياح قمة التشوہات بطاقة التسريع الأيوني من مجال طaci لآخر من خلال النموذج الحسابي البسيط لليندھارد (Lindhard) [7] الذي يستخدم التقریب

ترتبط الزاوية الحرجة بطاقة التسريع الأيوني في مجال الطاقات المرتفعة بعلاقة خطية (كما ورد في نموذج ليندهارد [7] من الشكل:

$$\Psi \sim \sqrt{E} \quad (3)$$

وبحسب العلاقة الأخيرة يصدق الأيون المنحرف بزاوية  $(\Psi)$  جدار القناة ليبدأ حركة العشوائية بعد اجتياز مسافة ترتبط خطياً مع  $(\sqrt{E})$  وهكذا يكون الانزياح  $(\Delta)$  بين بداية الحركتين العشوائيتين وبالتالي بين قمة التشوه في حالة الزرع الأيوني في الاتجاه العشوائي واتجاه القنوات مرتبطة أيضاً خطياً مع جزء طاقة التسريع الأيوني  $(\sqrt{E})$ .

**التوزع العمقي للثکافية الأيونية في حالة الزرع الأيوني باتجاه القنوات:**  
يتعلق عمق الاختراق الأيوني للأيونات المزدوجة باتجاه قناة ما في عينة هدف ما بطبيعة وشكل هذه القناة بالإضافة لتحولات الزرع الأيوني الابتدائية [8]. وتُعتبر القناة المخورية <110> في السيليكون من القنوات التي يمكن للأيونات أن تقاد ضمنها إلى أعمق كبرة نسبياً نظراً لسعة هذه القناة وانتظام وكتافة الذرات في صفوف الذرات المشكّلة لها. يتعلّق عمق الاختراق لأيون ما بالإضافة لما سبق. موقع النقطة التي يُصيّب فيها هذا الأيون سطح عينة الهدف حيث يكون عمق الاختراق أكبر كلما كانت هذه النقطة

أنَّ الأيونات لا تتحسّس البنية المتقطعة وبالتالي الكمون المتقطع لصفوف الذرات في هذه الحالة ويُلخص الشرط السابق [7] بالترجمة التالية:

$$E > \frac{d^2}{8} U''(r_{cr}) \quad (1)$$

حيث  $(E)$  طاقة التسريع الأيوني،  $(d)$  المسافة بين الذرات في الصفوف،  $((U(r_{cr}))$  الكمون المستمر لصفوف الذرات.

**ترتبط الزاوية الحرجة  $(\Psi_{cr})$  بطاقة التسريع الأيوني في مجال الطاقات المنخفضة وفق علاقة ليندهارد (Lindhard) [7] التالية:**

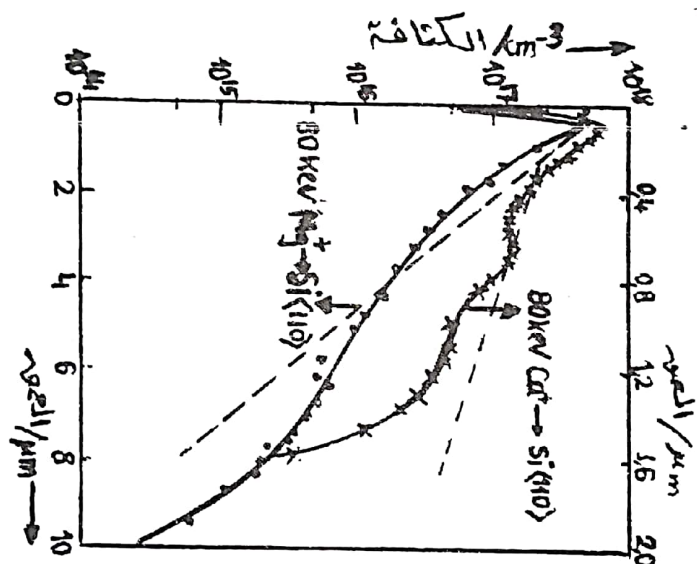
$$E\Psi_{cr}^2 = U(r_{cr}) \quad (2)$$

وبحسب العلاقة الأخيرة فإنه في حالة الزرع الأيوني باتجاه القنوات يصدق الأيون المنحرف بزاوية  $(\Psi_{cr})$  جدار القناة بعد اجتياز مسافة ترتبط خطياً مع  $(E)$  وتعتبر نقطة الاصطدام هذه بداية الحركة العشوائية للأيون في هذه الحالة، أما في حالة الزرع الأيوني في الاتجاه العشوائي فيُعتبر سطح عينة الهدف نقطة البداية للحركة العشوائية وتكون وبالتالي المسافة بين بداية الحركة العشوائية في الحالتين مرتبطة خطياً مع طاقة التسريع الأيوني  $(E)$  وبما أنَّ الأيونات المتحركة عشوائياً هي المسؤولة في الحالتين عن إنتاج قمة التشوهات يكون الانزياح بين القمتين مرتبطاً خطياً أيضاً مع طاقة التسريع الأيوني  $(E)$  في مجال طاقات التسريع الأيوني المنخفضة.

شكل مقاطع التوزع العميق للكثافة الأيونية في هذه الحالة، إنَّ مقارنة مقطعي التوزع العميق للكثافة الأيونية لأيوني الكالسيوم ( $\text{Ca}^+$ ) ذو الكبح الإلكتروني العالي والمغزيلوم ( $\text{Mg}^+$ ) ذو الكبح الإلكتروني المنخفض [9] الموضحين في الشكل (3)

أقرب إلى محور القناة. وتسمى الأيونات التي تتحرك قرب محاور القنوات المحورية بأيونات الانقياد القنوي الأمثل.

يلعب الكبح الإلكتروني للأيونات الممزروعة باتجاه القنوات دوراً فعالاً في تحديد الأعمق التي تستقر عندها الأيونات ضمن القنوات التي تسير داخلها وبالتالي في تحديد



الشكل (3): مقارنة مقاطع التوزع العميق للكثافة الأيونية لأيونين أحدهما ذو كبح الكتروني عال والثاني ذو كبح الكتروني منخفض

بطريقة (SIMS) لأيوني الكالسيوم ( $\text{Ca}^+$ ) والمغزيلوم ( $\text{Mg}^+$ ) المذروعين باتجاه القناة المحورية  $\langle 110 \rangle$  لعينة السيليكون (Si) بطاقة تسريع مقدارها (80) kev تُظهر مقارنة مقطعي التوزع العميق هذين فروقاً واضحة

تُظهر الدور الفعال الذي يلعبه الكبح الإلكتروني في تحديد شكل مقاطع التوزع العميق للكثافة الأيونية للأيونات الممزروعة باتجاه القنوات. يمثل الشكل (3) الكثافة الأيونية بتابعية عمق التوضع الأيوني مقاسة

يُحسب في البداية الاحتمال الوسطي  $\langle W \rangle$  لخروج الأيون من قناته التي يسر ضمنها نتيجة لصدام مفرد مع إحدى الذرات بفعل الاهتزازات الحرارية للذرات الصفوف المشكّلة للقناة فيعطي عمق نقطة خروج الأيون من قناته  $(X_{\frac{1}{2}})$  بدلالة المسافة الذرية  $(d)$  بالعلاقة:

$$X_{\frac{1}{2}} = \frac{d}{\langle w \rangle} \quad (4)$$

يترك الأيون قناته عندما تُمكّنه المركبة العرضانية لطاقته من الاقتراب لمسافة أصغر أو تساوي نصف القطر الحرج  $(r_0)$  من صفوف الذرات، وتعطي قيمة الاحتمال الوسطي لخروج الأيون من قناته بدلالة المركبة العرضانية  $(E_1)$  بالعلاقة:

$$W(E_1) = \frac{2}{r_0^2 - e^2(E_1)} \quad (5)$$

$$\left[ \int_{-r_m}^{r_m} \int_{-r_m}^{e+r_m} p(e') de' + \int_{r_m}^{r_0} e de' p(e') de' \right]$$

يُمثل  $r_m$  في العلاقة السابقة مت حول التصادم ويُمثل  $(E_1)$  مسافة الاقتراب الأصغرية الممكّنة من أحد صفوف الذرات لأيون له المركبة العرضانية  $(E_1)$  للطاقة وتحتاج  $p(e')$  كثافة الاحتمال لوجود ذرة من صف ضمن المقطع العرضي  $(\pi r_0^2)$  لهذا الصف وتعطي قيمة  $(p(e'))$  بالعلاقة:

$$p(e') = \left[ 1 - \exp\left(\frac{-r_0^2}{U_1^2}\right) \right]^{-1} \frac{2e'}{U_1^2} \quad (6)$$

$$\exp\left(\frac{-e'^2}{U_1^2}\right) -----$$

من أجل أيون الكالسيوم  $(Ca^+)$  بحد قمة ثانية وامتداد بعدها بينما يُدلي مقطع التوزع العمقي لأيون المغزنيوم  $(Mg^+)$  شكلاً انسياً مشيراً بوضوح لأعمق احتراق أكبر بكثير في حالة أيون المغزنيوم  $(Mg^+)$  وذلك بلاحظة استخدام تدرجات عميقة مختلفة للأيونين في الشكل (3). تتألف القمة الثانية في مقطع  $Ca^+$  من الأيونات التي تستقر ضمن النواة  $\langle 110 \rangle$  على عمق معين بفعل كبحهما الإلكتروني أما الامتداد بعد القمة الثانية فيتألف من الأيونات ذات الانقياد القنوبي الأمثل. تُعاني أيونات المغزنيوم المزروعة باتجاه القناة المحورية  $\langle 110 \rangle$  كبحها بفعل الاهتزازات الحرارية بشكل رئيسي، هذه الاهتزازات الحرارية للذرات المؤلفة لصفوف القناة تؤدي لخروج الأيونات من قنواتها بنسب ثابتة (حيث تتوقف الأيونات بسرعة بعد خروجها من قنواتها)، مما يعطي مقطع التوزع العمقي شكله الانسيابي.

في حالة أيون المغزنيوم، أما كبحه الإلكتروني المنخفض فيلعب دوراً مهماً فقط.

تم حساب مقاطع التوزع العمقي للكافحة الأيونية المرسومة بخط متقطع في الشكل (3) بالاستفادة من برنامج حسابي بسيط لكوماخوف (Kumakhov [10] - [11] يلخص بما يلي:

بشكل لا بأس به من أجل أيون المغزيريوم ( $Mg^+$ ), ويعزى التطابق السيء في حالة أيون الكالسيوم ( $Ca^+$ ) لإهمال الكبح الإلكتروني (ذو القيمة العالية عند أيون الكالسيوم) في البرنامج الحسابي السابق.

أهم النتائج:

1) تكون التشوّهات الناتجة عن عملية الزرع الأيوني في الاتجاه الفنوي قليلة بالمقارنة مع تلك الناتجة عن عمليات الزرع الأيوني في الاتجاه المعاكس.

2) يرتبط العمق الذي تترك عنه الأيونات قنواتها بطاقة التسريع الأيوني وتختلف من مجال طاقي آخر.

3) تزداد قيمة التشوّهات للزرع الأيوني في الإتجاه الفنوي عمّقاً عن قيمة التشوّهات للزرع الأيوني في الإتجاه العشوائي، ويرتبط هذا الإنزياح بطاقة التسريع الأيوني وفق علاقة مختلفة من مجال طاقي آخر.

4) يتعلّق شكل مقاطع التوزّع العممي للκثافة الأيونية للأيونات المزروعة في الإتجاه الفنوي بشكل رئيس بالكبح الإلكتروني للأيونات والذي يلعب دوراً فعالاً في تحديد أعمق الإنحراف للأيونات السائدة ضمن القنوات.

تمثل  $U$  هنا القيمة الوسطية لستة الاهتزازات الحرارية للذرّات.

وباستخدام عبارة فيرسوف (Firsov) للكمون المستمر تم الحصول على الاحتمال الوسطي التالي:

$$\langle W \rangle = \frac{3\sqrt{\pi} r_\sigma U_\perp^2}{r_0^4} \left( 1 - \frac{1}{2} \Phi \left( \frac{2r_\sigma}{U_\perp} \right) + \frac{U_\perp^4}{r_0^4} \left( 1 - \exp \left( \frac{-4r_\sigma^2}{U_\perp^2} \right) \right) \right) + \frac{2U_\perp^2 r_\sigma^2}{r_0^4} \quad (7)$$

حيث يعطى التابع التكاملي  $\Phi$  الوارد في العلاقة السابقة بالعلاقة التالية:

$$\Phi(Z) = \int_0^Z e^{-z'^2} dz'$$

وباستخدام العلاقات (5) و (7) تُحسب نسبة الأيونات التي تترك قنواتها عند العمق ( $L$ ) كما يلي:

$$\chi(x) = 1 - N_{ch}(0) \exp \left( -\frac{x}{L} \right) \quad (8)$$

حيث  $N_{ch}(x)$  نسبة الأيونات المتبقية ضمن القناة على عمق  $x$ . تعطى قيمة ( $L$ ) للأيونات التي تحرك بحركة عشوائية اعتباراً من سطح العينة بالعلاقة:

$$L = \frac{X_{\frac{1}{2}}}{\ln(2)} \quad (9)$$

تطابق الخطوط المحسوبة وفقط البرنامج السابق مع مقاطع التوزّع العممي للκثافة الأيونية كما يتوضّح من الشكل رقم (3)

## Abstract

*The degree of damage, which results from ion implantation to a crystal target depend on the target orientation, with the ion beam. The damage reaches its maximum when we implant randomly, and it reaches its minimum when we implant in the direction of axial channel.*

*The orientation of the target with the ion beam plays a fundamental role in determining the depths of the ions.*

*We studied the effect of electronic stopping section on the depth distribution profiles of the ion density by comparing the tow depth profiles, to Ca<sup>+</sup>-ion which has a high electronic stoppage, and Mg<sup>+</sup>-ion which has a law electronic stoppage, which were implanted in to axial channel <110> of the Si-target.*

## Reference

- [1]- Gemmell,D.S.: cHanneling and related effects in the wotion of charged particles through crystals.- In: Rev.Mod phys.- 46(1984). 129 - 227.
- [2]- Davies,J.A.: Ion implatation and channeling. - In: The structure of Nuclei.- International Atomic Energy Vienng 1972 - S. 457 - 563.
- [3]- Comas, J.,Wilson, R.G.: Channeling and random equivalent depth distributions of 150kev Li,Be and B implanted in Si - In: J.Appl. phys.- 51(1980)7.-S.3697 - 3701.
- [4]- Wilson, R.G.: Channeling of 20 - 800kev arsenic ions in the <110> and th<100> directions of silicon, and roles of electronic and nuclear stopping.- In: J.Appl.phys.- 52 (1981) 6.- S.3985 - 3988.
- [5]K.Holldack and H.Kerkow: Flux Dependence of Damage Accumulation in Si.- In phys-stat.sol.( $\alpha$ )98,527 (1986).
- [6]- M.Abbas,R.Wedell and H.Kerkow: Heavy ion channeling implantation Processes in Crystals.-Inphys. in phys.stat.sol.(b)159,597(1990).
- [7]- Lindhard,J.: In fluence of crystal lattice on motion of energetic charged particles,- In: Mat.- fys.Medd.Dan.Ved.Selsk.- 34(1965) S.1 - 64.
- [8]- J.K.Norskov, K.W.Jacobsen: Many - atom interactions in metals.- In international Atomic Energy Agence 10 - 21 August (1992).
- [9]- F.H.Eisen: Channeling of medium - mass ions through silicon - In canad ian Journal of physics. vol.46 (1968).
- [10]- Kumakhov,M.A., Komarov,F.F.: Energieverluste and Reichweiten Von Ionen in Festkorpern (russ). Minsk. 1989.
- [11]- Kumakhov,M.A., Probleme der Theorie der Ionenimplantation.- Moskau: MGU - Institut für
- [12]Kernphysik, 1989.